

## МАГНЕТОПОЛЯРОН В ЦИЛИНДРИЧЕСКОЙ КВАНТОВОЙ НИТИ

© Е.П.Покатилов, С.Н.Климин, С.Н.Балабан, С.И.Берил\*

Молдавский государственный университет,  
277009 Кишинев, Молдова

\*Приднестровский государственно-корпоративный университет  
им.Т.Г.Шевченко, Тирасполь, Молдова

(Получена 13 февраля 1995 г. Принята к печати 29 мая 1995 г.)

Получен энергетический спектр электрона в цилиндрической нити с бесконечно высоким барьером на границе и параболическим потенциалом внутри нити. Исследовано преобразование спектра с ростом осцилляторной ( $\Omega$ ) и магнитной ( $\omega_H$ ) частот. Методом теории возмущений, в приближении Вигнера-Бриллюэна, вычислены полярные поправки к электронным энергетическим уровням и трансляционной эффективной массе, обусловленные взаимодействием с объемно-подобными и интерфейсными модами, и получены их зависимости от магнитного поля. Рассмотрен эффект магнетополяронного резонанса, рассчитана величина расщепления резонансных полярных уровней.

### 1. Введение

Субмикронные структуры пониженной размерности (двумерные — 2D, одномерные — 1D, нуль-мерные — 0D) с частично или полностью дискретными энергетическими спектрами, обусловленными размерным квантованием зонных энергетических спектров ионного кристалла, являются новыми физическими объектами, привлекательными как с точки зрения чисто научных исследований, так и для целей создания электронных устройств нового поколения. К настоящему времени благодаря успехам технологии получены и интенсивно исследуются не только совершенные плоские многослойные структуры, но также ните-подобные и точечноподобные [1–3]. Так, недавно сообщалось об изготовлении различного вида совершенных нитей и экспериментальном исследовании магнетофотолюминесценции в них [4]. Достижения в изготовлении структур пониженной размерности стимулируют интерес теории к развитию адекватных моделей, необходимых для описания физических явлений в них [5–13]. Квантовые нити представляют интерес в том отношении, что в них имеет место более многостороннее ограничение по сравнению со слоями и вместе с тем возможен перенос носителей заряда в отличие от точек.

Электронное квантование принято рассматривать в моделях, использующих вертикальные барьеры конечной или бесконечной высоты, а также параболические потенциалы [8–12, 14]. Начало обсуждению фононного спектра в условиях размерного квантования было положено в работе [15]. В настоящее время интерес к этой проблеме возрос еще больше в связи с прямым экспериментальным наблюдением фононных мод методом рамановского рассеяния света [16, 17].

При исследовании полярной проблемы в структурах пониженной размерности необходимо учитывать как электронное, так и фононное квантование. В работах [9, 12, 14, 18] рассматривались полярные состояния в проволоке с прямоугольным сечением. Для описания электронного квантования использовался параболический потенциал, но фононы брались трехмерными. Одномерный параболический потенциал использован в работах [9, 12] при расчетах магнетополярных явлений. Анизотропный параболический потенциал был использован в работе [19] для описания состояния экситона в проволоке в присутствии магнитного поля, направленного вдоль ее оси. В предыдущих работах [8–10] проблемы магнетополярона в слое, нити, точке изучались детально. В них получены решения уравнения Шредингера в магнитном поле с параболическим потенциалом. В указанных работах в приближении слабого взаимодействия электрона с трехмерными (3D) фонопами найдены полярные вклады в энергию, эффективную массу, вычислены полярные расщепления пересекающихся уровней. Отметим, что параболический потенциал с осцилляторной энергией  $\hbar\Omega \approx 10 \text{ мэВ}$  [9] не обеспечивает квантования электронов при малых радиусах цилиндра. Необходим также учет фононного квантования.

В настоящей работе мы рассматриваем магнетополярные состояния в цилиндрической квантовой нити с бесконечным потенциалом на ее поверхности и двумерным параболическим потенциалом внутри ее. Для вычисления полярных параметров используется электрон-фононный гамильтониан, включающий взаимодействие электрона с объемноподобными и интерфейсными фононами, выведенный для цилиндрической нити в работе [13].

## 2. Волновая функция и энергия электрона

Волновая функция и энергия электрона в цилиндрической яме с параболическим дном в магнитном поле  $\mathcal{H}$ , направленном параллельно оси  $z$  цилиндра, находятся из решения уравнения Шредингера с гамильтонианом в цилиндрической системе координат:

$$\hat{H}_e = \frac{\hat{\mathbf{p}}^2}{2M} - \frac{e\hbar}{2Mc} \mathcal{H} \hat{l}_z + \frac{e^2 \mathcal{H}^2}{8Mc^2} \rho^2 + U(\rho), \quad (1)$$

где  $\hat{l}_z = -i \partial/\partial\varphi$  — оператор  $z$ -проекции момента.

Полный потенциал  $U$  включает барьер на поверхности цилиндра,  $\rho = R$ ,

$$U_b = \begin{cases} 0, & \rho < R \\ \infty, & \rho > R \end{cases} \quad (2)$$

и параболический потенциал внутри цилиндра,  $\rho < R$ ,

$$U_0 = \frac{M\Omega^2}{2}\rho^2. \quad (3)$$

Собственные функции гамильтониана (1) имеют вид

$$\Psi_{m,k}(\rho, \varphi, z) = \frac{A}{2\pi} e^{i(kz+m\varphi)} e^{-\rho^2/2a^2} \left( \frac{\rho^2}{a^2} \right)^{|m|/2} {}_1F_1 \left( -\nu_r^{|m|}, |m| + 1, \frac{\rho^2}{a^2} \right), \quad (4)$$

где  ${}_1F_1(\nu, \gamma, \rho)$  — вырожденная гипергеометрическая функция [20],

$$\frac{1}{a^4} = \frac{1}{4a_H^4} + \frac{1}{a_0^4}, \quad a_H = \sqrt{\frac{\hbar}{M\omega_H}}, \quad a_0 = \sqrt{\frac{\hbar}{M\Omega}}, \quad \omega_H = \frac{|e|\mathcal{H}}{Mc}. \quad (5)$$

Собственные значения гамильтониана (1)  $E_\gamma$  определяются выражением

$$E_\gamma - \frac{\hbar^2 k^2}{2M} = E_{\nu, m} = \hbar\tilde{\omega} \left( \nu_r^{|m|} + \frac{|m| + 1}{2} \right) + \hbar\omega_H \frac{m}{2} \quad \gamma = (m, \nu_r^{|m|}, k), \quad (6)$$

$$\tilde{\omega} = [\omega_H^2 + (2\Omega)^2]^{1/2}$$

находится из условия обращения в нуль на границе  $\rho = R$  вырожденной гипергеометрической функции

$${}_1F_1 \left( -\nu_r^{|m|}, |m| + 1, \frac{R^2}{a^2} \right) = 0. \quad (7)$$

В пределе  $z = 0, R \rightarrow \infty, \Omega \neq 0$  из (5) и (7) следуют результаты работ [10, 11], а в пределе  $z = 0, R = \text{const}, \Omega = 0$  — результаты работы [11].

В пределе  $R/a \rightarrow 0$  асимптотика корней уравнения (7) имеет вид  $\nu_r^{|m|} \approx j_{|m|,r}^2(a^2/4R^2)$ , где  $j_{|m|,r}$  —  $r$ -й нуль функции Бесселя  $J_m(x)$  и энергетические уровни определяются размерным квантованием.

При  $\mathcal{H} = 0$  в части спектра, лежащей значительно ниже уровня

$$U_0(R) = \frac{MR^2\Omega^2}{2} \gg E(\nu_r^{|m|}, |m|, \Omega), \quad (8)$$

энергия приобретает осцилляторный вид,

$$E_{n_0}(\Omega) = \hbar\Omega(n_0 + 1), \quad (9)$$

с кратностью вырождения  $n_0 + 1$ , где  $n_0 = 2(r - 1) + |m|$  — квантовое число двумерного осциллятора. В районе (выше и ниже)  $U_0(R)$  имеет место расщепление осцилляторных уровней барьерным потенциалом  $U_b$  на  $n_0/2 + 1$  в случае четного  $n_0$  и  $(n_0 + 1)/2$  в случае нечетного  $n_0$ .

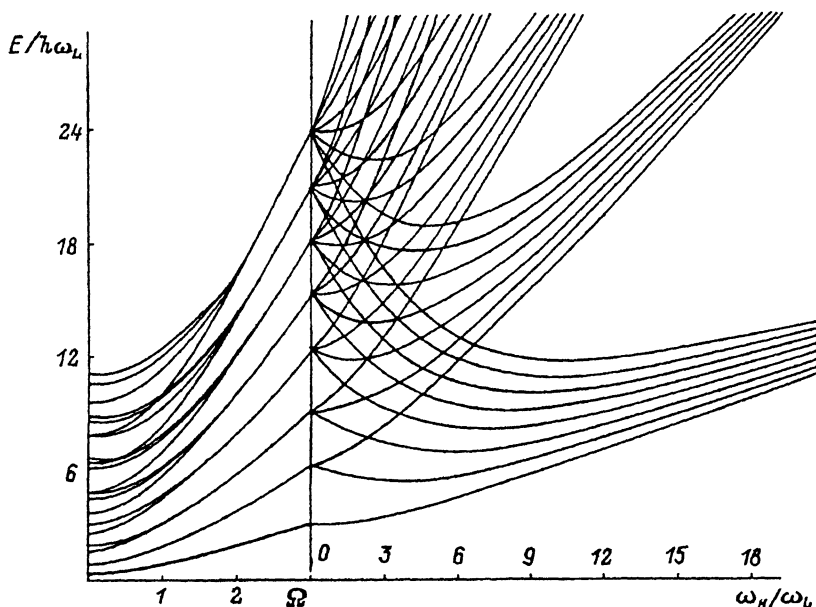


Рис. 1. Спектр энергий электрона в цилиндрической нити. В интервале 0–3 (слева) переменной взята частота  $\Omega$  при  $\omega_H = 0$ , т.е.  $\tilde{\omega} = 2\Omega$ . При значениях аргумента  $> 3$  (справа) переменной является  $\tilde{\omega} = \sqrt{\omega_H^2 + 4\Omega^2}$  с фиксированным значением  $\Omega = 3$ .

Наконец, при очень больших энергиях  $E_{m,r} \gg U_0(R)$  имеем спектр размерного квантования с двукратно вырожденными по знаку  $m$  уровнями. На рис. 1 (левая часть) представлен элекронный спектр в зависимости от  $\Omega$  при радиусе цилиндра  $R/R_p = 4$  (где  $R_p = \sqrt{\hbar/2M\omega_L}$ ). На нем хорошо видно расщепление более высоких уровней барьерным полем и вырождение более низких. Общий случай описывается формулой (6). В области слабых магнитных полей,  $a_H \gg a_0$ ,  $\omega_H \ll \Omega$ , имеет место расщепление всех уровней с  $n_0 \neq 0$  и полное снятие вырождения. В этом пределе вклад  $\omega_H$  в  $\tilde{\omega}$  мал и величина расщепления определяется слагаемым  $\hbar\omega_H m/2$  в общей формуле (6). В противоположном пределе сильных магнитных полей, когда  $\omega_H \gg \Omega$  и магнитный радиус  $a_H \ll a_0$ , корни  $\nu_r^{|m|}$  уравнения (7), как было указано, вырождаются, и уравнение для энергии имеет вид

$$E = \hbar\omega_H \left( n + \frac{1}{2} \right), \quad (10)$$

где  $n \equiv r - 1 + (m + |m|)/2$  — квантовое число Ландау. На рис. 1 (правая часть) показано превращение с ростом  $\omega_H$  при фиксированном  $\Omega$  размерно-осцилляторных уровней в уровни Ландау. Для дальнейшего важно обратить внимание на взаимное пересечение и инверсию уровней с положительными и отрицательными  $m$ .

### 3. Энергия и эффективная масса полярона

Гамильтониан электрон-фононного взаимодействия в цилиндрической нити получен авторами этой работы в [13]. Для упрощения численных расчетов мы ограничимся случаем размерно-магнитного квантования ( $\Omega = 0$ ).

Гамильтониан полярной задачи имеет вид

$$\hat{H} = \hat{H}_1 + \hat{H}_{ph} + \hat{H}_{e-ph}. \quad (11)$$

Здесь  $\hat{H}_1 = \hat{H}_e + \hat{H}_{SA}$  — электронная часть гамильтониана, включающая гамильтониан (1) с потенциалом  $U = U_b$  и потенциальную энергию самовоздействия (потенциальная энергия сил изображения), которая для электрона внутри цилиндра имеет вид [13]

$$U_{SA}(\rho) = \frac{\alpha_F \hbar \omega_L}{R} \frac{(\varepsilon_2 - \varepsilon_1)\varepsilon_{10}}{(\varepsilon_{10} - \varepsilon_1)\varepsilon_1} \frac{1}{\pi} \sum_{m=-\infty}^{+\infty} \int_{-\infty}^{+\infty} d\eta \frac{\eta K'_m(\eta) K_m(\eta) I_m^2(\eta\rho)}{1 - (\varepsilon_1/\varepsilon_2 - 1) K'_m(\eta) I_m(\eta)\eta}, \quad (12)$$

где

$$\alpha_F = \frac{1}{2} \frac{e^2}{4\pi\varepsilon_0 R_p \hbar \omega_L} \left( \frac{1}{\varepsilon_1} - \frac{1}{\varepsilon_{10}} \right).$$

— константа электрон-фононного взаимодействия Пекара-Фрелиха,  $I_m(x)$ ,  $K_m(x)$  — цилиндрические функции мнимального аргумента,  $I'_m(x)$ ,  $K'_m(x)$  — их производные [20]. Функция  $U_{SA}(\rho)$  является монотонно убывающей или монотонно возрастающей от оси цилиндра в зависимости от знака  $\varepsilon_2 - \varepsilon_1$ . Вклад в энергию электрона от самовоздействия быстро убывает как  $\sim 1/R$ . На рис. 2 приведена зависимость от магнитного поля энергии  $\Delta E_{\gamma, SA} = \langle \Psi_\gamma | U_{SA} | \Psi_\gamma \rangle$  для  $\gamma = (0, 1), (\pm 1, 1)$ . Уменьшение  $|\Delta E_{\gamma, SA}|$  объясняется усилением локализации электрона вблизи центра цилиндра по мере роста магнитного поля.

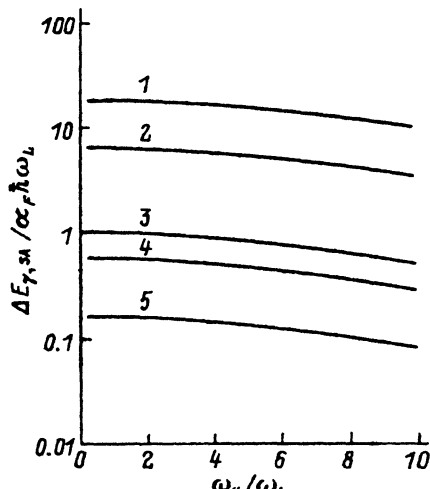


Рис. 2. Зависимость энергии самовоздействия от магнитного поля. Диэлектрическая проницаемость вещества внутри цилиндра  $\varepsilon_1 = 10.6$  (GaAs), внешней среды  $\varepsilon_2$ : 1 — 1, 2 — 3, 3 — 15, 4 — 9 (AlAs), 5 — 10.1.

$$\hat{H}_{ph} = \sum_{l,\eta,q} \hbar\omega_b \hat{a}_{lq\eta}^+ \hat{a}_{lq\eta} + \sum_{l,\eta} \hbar\omega_s(l, \eta) \hat{b}_{l\eta}^+ + \hat{b}_{l\eta} \quad (13)$$

включает объемную и поверхностную ветви колебаний. Объемная и интерфейсная части гамильтониана электрон-фононного взаимодействия имеют вид

$$H_{e-ph}^b = \sum_{X^b} = \left[ \Gamma^b(\rho, \eta, l, q_l) e^{i(\eta z + l\varphi)} \hat{a}_{l,q,\eta} + c.c. \right], \quad (14)$$

$$H_{e-ph}^s = \sum_{X^s} \left[ \Gamma^s(\rho, \eta, l) e^{i(\eta z + l\varphi)} \hat{b}_{l,\eta} + c.c. \right], \quad (15)$$

где  $X^b = (l, q, \eta)$  и  $X^s = (l, \eta)$  — полные наборы квантовых чисел для объемных ( $b$ ) и поверхностных ( $s$ ) мод. Амплитуды электрон-фононного взаимодействия  $\Gamma^b(\rho, l, q_l, \eta)$  и  $\Gamma^s(\rho, l, \eta)$ , приведенные в работе [13] для общего случая многослойного цилиндра с полярными слоями, сильно упрощаются для рассматриваемого случая полярной нити в неполярной среде.

В приближении теории возмущений Вигнера–Бриллюэна для энергии полярона имеем уравнение

$$E = E_{\gamma_0, n_X^0}^0 - \sum_{\gamma, n_X} \frac{\left| \langle \Psi_{\gamma, n_X} | \hat{H}_{e-ph} | \Psi_{\gamma_0, n_X^0} \rangle \right|^2}{E_{\gamma, n_X}^0 - E}, \quad (16)$$

где  $\Psi_{\gamma, n_X} = \Psi(\rho; \gamma) |n_X\rangle$  с  $\gamma = (\nu_r, m, k)$  — волновая функция пулевого приближения, в которой  $\Psi(\rho; \gamma)$  и  $|n_X\rangle$  — собственные функции гамильтонианов  $\hat{H}_e$  и  $\hat{H}_{ph}$ ,  $n_X$  — фононное заполнение состояния  $X$ . Фононную волновую функцию, описывающую начальное состояние, будем считать вакуумной,  $n_X^0 = 0$ . Поскольку оператор  $\hat{H}_{e-ph}$  — однофоновый, в возмущенном состоянии должен быть один фонон  $n_X = 1$ :  $E_{\gamma, 1_X}^0 = E_\gamma^0 + \hbar\omega_X$ . Этот электрон-фононный уровень будем называть виртуальным. Искомую энергию  $E$  представим в виде суммы  $E = E_{\gamma_0, 0_X}^0 + \Delta E_p(\gamma)$ , где  $\Delta E_p$  — поляроная поправка. Разность энергий в знаменателе формулы (16) записывается в виде

$$\Delta E_{\gamma_1 X}^{\gamma_0 0_X} = E_\gamma^0 - E_{\gamma_0}^0 + \hbar\omega_X + \frac{\hbar^2 \eta^2}{2M} - \frac{\hbar^2 \eta k_0}{M} + \Delta E_p(\gamma). \quad (17)$$

Раскладывая в формуле (16) поляронаю часть по  $k_0$  и ограничиваясь слагаемыми  $\sim k_0^2$ , мы получаем при  $k_0 = 0$  уравнение для поляронах сдвигов, а часть  $\sim k_0^2$  дает поправки к трансляционной эффективной массе.

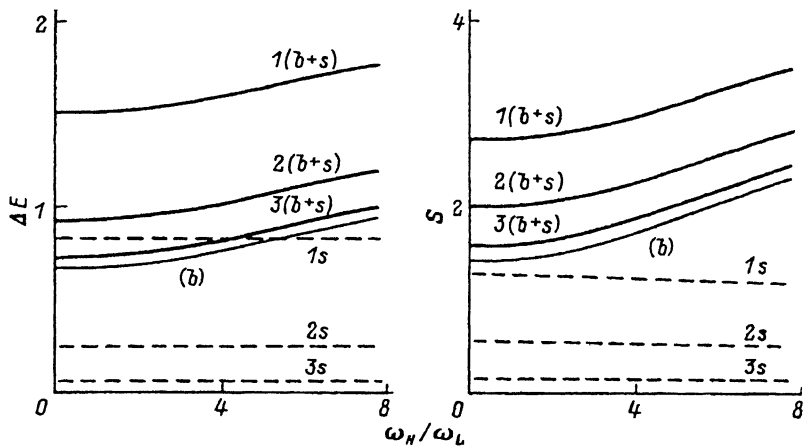


Рис. 3. Зависимость полярной энергии (слева) и параметра  $S$  эффективной массы (справа) от магнитного поля.  $1s, 2s, 3s$  — поверхностные полярные вклады при  $\epsilon_2 = 1, 3, 9$  (AlAs) соответственно;  $b$  — объемный вклад;  $1(b+s), 2(b+s), 3(b+s)$  — соответствующие полные полярные энергии.

При расчете полярных поправок к энергии основного состояния  $\Delta E_p$  можно ими пренебречь в заменателях формулы (16), что соответствует использованию теории возмущений Рэлея–Шредингера. Некоторые результаты такого расчета для  $R/R_p = 2$  с использованием параметров GaAs [24] ( $m^* = 0.06624m$ ,  $\omega_L = 5.5 \cdot 10^{13} \text{ c}^{-1}$ ,  $\epsilon_0 = 12.87$ ,  $\epsilon_\infty = 10.9$ ,  $\alpha_F = 0.07$ ) показаны на рис. 3 (слева), где приведены зависимости поверхностных вкладов  $|\Delta E_p^{(s)}|/\alpha_F \hbar \omega_L$  (штриховые линии  $1s, 2s, 3s$  для  $\epsilon_2 = 1, 3, 9$  соответственно), объемного вклада  $|\Delta E_p^{(b)}|/\alpha_F \hbar \omega_L$  (тонкая линия  $b$ ), а также суммарного полярного сдвига  $|\Delta E_p^{(b)} + \Delta E_p^{(s)}|/\alpha_F \hbar \omega_L$  (толстые линии  $1(b+s), 2(b+s), 3(b+s)$ ) от магнитного поля, взятого в единицах  $\omega_H/\omega_L$ . Поверхностный вклад, обусловленный в основном взаимодействием с нулевой интерфейсной модой ( $l = 0$ ), практически не зависит от магнитного поля, резко уменьшается с ростом диэлектрической проницаемости внешней среды  $\epsilon_2$ . При больших  $R$  объемный вклад возрастает, стремясь к пределу  $\Delta E_p^{(b)}/\alpha_F \hbar \omega_L = 1$ , а поверхностный быстро убывает. Отметим, что в зависимости от значений  $\epsilon_2$ ,  $R$ ,  $\omega_H$   $|\Delta E_p^{(b)} + \Delta E_p^{(s)}|/\alpha_F \hbar \omega_L$  может быть как больше, так и меньше единицы. Известно, что по мере уменьшения размерности электронного газа энергия при взаимодействии с 3D фононами растет. При учете размерного квантования фононов подобное сравнение независимо от выбора внешней среды можно сделать для объемных полярных вкладов  $\Delta E_p^{(b)}$ . Если для слоя (2D) толщины  $L$   $\Delta E_p^{(b)}|_{L \rightarrow 0} \rightarrow 0$ , то для цилиндра (1D) радиуса  $R$   $\Delta E_p^{(b)}(R)|_{R \rightarrow 0} \rightarrow \text{const}$  и для шара (0D) радиуса  $R$   $\Delta E_p^{(b)}(R)|_{R \rightarrow 0} \rightarrow \infty$  [13].

Переходя в формуле (16) от суммы по  $\eta$  к интегралу и выполняя интегрирование, получаем два различных уравнения для вычисления полярных смещений  $\Delta E_{p1}$  и  $\Delta E_{p2}$  в зависимости от знака резонанс-

ногого слагаемого  $E_{\gamma}^0 = \hbar\omega_x - E$ . Величина расщепления, определенная как разность полярных сдвигов  $\Delta E_p = \Delta E_{p1} - \Delta E_{p2}$  в точке резонанса  $\beta_{\gamma}^{\gamma_0} = E_{\gamma_1} + \hbar\omega_x - E_{\gamma_0} = 0$ , вычисленная на основе формулы (16), дает  $\Delta E_p \sim \alpha_F^{2/3}$  для объемного вклада. Этот результат совпадает с полученным для задачи с 3D электронами и фононами в магнитном поле, так как в обоих случаях электрон имеет одну трансляционную степень свободы. В отличие от этого для 2D электрона (в слое) в наклонном магнитном поле благодаря полному размерному квантованию электронного спектра получается  $\Delta E_p \sim \alpha_F^{1/2}$  [8].

Для построения резонансных кривых необходимо решить два уравнения, полученных после интегрирования по  $\eta$ , в которых искомая величина  $\Delta E_p$  сохраняется только в резонансных слагаемых:

$$\sum_{q_j^l} \frac{\left| \langle \Psi_{m_1, \nu_1} | H_{e-ph} | \Psi_{m_0, \nu_0} \rangle \right|^2}{(\beta_{\gamma}^{\gamma_0} - \Delta E_{p1}) (\beta_{\gamma}^{\gamma_0} - \Delta E_{p1} + q_j^l) q_j^l} + S_+ = -\Delta E_{p1} \quad \beta_{\gamma}^{\gamma_0} - \Delta E_{p1} > 0, \quad (18)$$

$$-\sum_{q_j^l} \frac{\left| \langle \Psi_{m_1, \nu_1} | H_{e-ph} | \Psi_{m_0, \nu_0} \rangle \right|^2}{[(\beta_{\gamma}^{\gamma_0} - \Delta E_{p2})^2 + (q_j^l)^2] q_j^l} + S_- = -\Delta E_{p2} \quad \beta_{\gamma}^{\gamma_0} - \Delta E_{p2} \leq 0, \quad (19)$$

где  $S_{\pm}$  — сумма всех нерезонансных слагаемых, включая поверхностную часть.

Результаты численных расчетов расщеплений с использованием параметров кристаллов GaAs, AlAs ( $\omega_L = 7.61 \cdot 10^{13} \text{ с}^{-1}$ ,  $\epsilon_{\infty} = 9$ ) при резонансе уровня  $(-1, 1)$  с  $(0, 1)$  (пересечение электронного уровня  $(-1, 1)$  с виртуальным  $(0, 1)$ ; относительно сильное размерное квантование) и при резонансах электронного уровня  $(1, 1)$  с  $(-1, 1)$  и  $(0, 1)$  (относительно слабое размерное квантование) приведены на рис. 4, а и 4, б. Тонкими

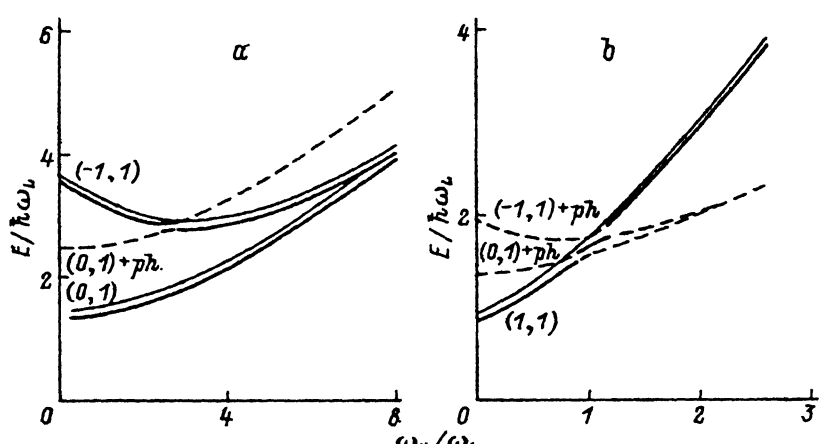


Рис. 4. Расщепление полярных уровней. а — резонанс уровня  $(0, 1) - (-1, 1)$ ; б — резонанс уровней  $(0, 1) - (1, 1)$  и  $(-1, 1) - (1, 1)$ .

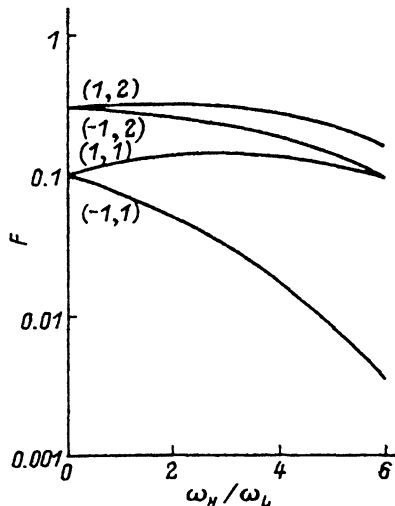


Рис. 5. Зависимости от магнитного поля силы осцилляторов  $F$  для переходов с основного уровня  $(0,1)$  на уровни, указанные у кривых.

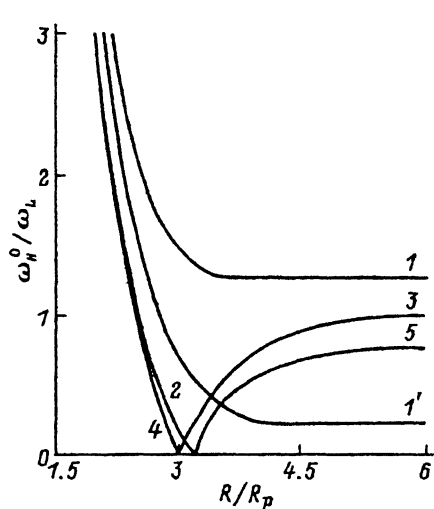


Рис. 6. Зависимость безразмерной резонансной частоты  $\omega_H^0/\omega_L$  от радиуса цилиндрической нити в единицах  $R_p$ .

линиями показаны электронные уровни  $E_\gamma^0/\hbar\omega_L$ , штриховой — виртуальные ( $E_\gamma^0 + \hbar\omega_L)/\hbar\omega_L$ , а толстыми — полярные ( $E_\gamma^0 + \Delta E_p)/\hbar\omega_L$  в зависимости от  $\omega_H/\omega_L$  при  $R/R_p = 2$  (a) и  $R/R_p = 4$  (b). Особенностью правого резонанса на рис. 4, б является фиксированность его положения  $\omega_H^0 = \omega_L$  независимо от значений параметров размерного квантования  $\Omega$ ,  $R$ . Отметим, что переходу  $E^0(-1,1) \rightarrow E^0(1,1)$  соответствует изменение электронного магнитного момента  $\Delta m = 2$ , поэтому он запрещен для одноквантовых излучательных переходов, но не запрещен для безызлучательных. Зависимость силы осцилляторов

$$F_{\gamma\gamma_0} = \frac{2M\omega_{\gamma\gamma_0}}{\hbar} |\langle \gamma | \rho e^{i\varphi} | \gamma_0 \rangle|^2$$

для различных переходов  $(0,1) \rightarrow (\pm 1,1)$  от магнитного поля приведена на рис. 5.

На рис. 6 показаны зависимости резонансной магнитной частоты  $\omega_H^0/\omega_L$ , определяемой из равенства  $\beta_{\gamma\gamma_0}(\omega_H^0, R) = 0$ , от  $R/R_p$ . Кривые 1 и  $1'$  соответствуют переходу  $(0,1) \rightarrow (-1,1)$  при  $\Omega/\omega_L = 1.5$  и 1.1. При малых  $\Omega/\omega_L$  возможны как переходы  $(0,1) \rightarrow (-1,1)$  (кривые 2 — для  $\Omega/\omega_L = 0.5$  и 4 — для  $\Omega/\omega_L = 0.1$ ), так и переходы  $(0,1) \rightarrow (1,1)$  (кривые 3 — для  $\Omega/\omega_L = 0.1$  и 5 — для  $\Omega/\omega_L = 0.5$ ). При больших  $R/R_p$  находим, что  $\omega_H^0 = |\omega_L^2 - \Omega^2|/\omega_L$  перестает зависеть от  $R$ , выходит на известный предел  $\omega_H^0 = \omega_L$  при  $\Omega = 0$ . Имеется интервал  $R$ , при которых  $\omega_H < \omega_L$  для  $\Omega < \sqrt{2}\omega_L$ .

Расчет трансляционной полярной эффективной массы  $M_{\text{eff}}$  производится описанным способом в соответствии с ее определением:

$$E_{\gamma_0} = E_{m_0\nu_0} + \Delta E_p + \frac{\hbar^2 k_0^2}{2M_{\text{eff}}}, \quad (20)$$

$$\frac{1}{M_{\text{eff}}} = \frac{1}{M} \left( 1 - \frac{\alpha_F S}{6} \right), \quad (21)$$

где  $\alpha_F S / 6$  — коэффициент при  $\sim k_0^2$  в разложении формулы (16) по  $k_0$ .

Результаты расчета для основного состояния при  $R/R_p = 2$  показаны на рис. 3 (справа), где штриховые линии  $1s$ ,  $2s$ ,  $3s$  соответствуют функциям  $S^{(s)}(\omega_H, R)$  для поверхностных фононов при  $\varepsilon_2 = 1, 3, 9$ , тонкая линия  $b$  дает функцию  $S^{(b)}(\omega_H, R)$  для объемных фононов, а толстые линии  $1(b+s)$ ,  $2(b+s)$ ,  $3(b+s)$  — их суммы  $S^{(s)} + S^{(b)}$ . Объемная часть возрастает, а поверхностная убывает с ростом  $\omega_H$  при фиксированном  $R$ .

Таким образом, можно утверждать, что размерный эффект ослабляет влияние магнитного поля на полярные вклады в энергию и эффективную массу электрона, особенно в области сильного квантования (малые  $R$ , большие  $\Omega$ ), но в некотором интервале значений радиуса  $R$  облегчает достижение магнетофононного резонанса  $0 \leq \omega_H^0 \leq \omega_L$ .

Авторы благодарят International Science Foundation за поддержку этой работы — грант № RZD000.

### Список литературы

- [1] E. Kapon, E. Kash, E.M. Clousen, Jr., D.M. Hwang, E. Colas. *Appl. Phys. Lett.*, **60**, 477 (1992).
- [2] S. Tsukamoto, Y. Nagamune, M. Nishioka, Y. Arakawa. *Appl. Phys. Lett.*, **63**, 355 (1993).
- [3] D. Schooss, A. Mews, A. Eychmueller, H. Weller. *Phys. Rev. B*, **49**, 17072 (1994).
- [4] Y. Nagamune, Y. Arakawa, S. Tsukamoto, M. Nishioka, S. Sasaki, N. Miura. *Phys. Rev. Lett.*, **69**, 2963 (1992).
- [5] Б.С. Бабиченко, Л.В. Келдыш, А.П. Силин. *ФТТ*, **22**, 1238 (1980).
- [6] Е.А. Андрюшин, А.П. Силин. *ФТТ*, **30**, 3253 (1988).
- [7] Е.А. Андрюшин, А.П. Силин. *ФТП*, **27**, 1256 (1993).
- [8] R. Haupt, L. Wendler. *Annals of Physics*, **233**, N 2, 214 (1994).
- [9] L. Wendler, A.V. Chaplik, R. Haupt, O. Hipolito. *J. Phys.: Condens. Matter.*, **5**, 4817 (1993).
- [10] L. Wendler, A.V. Chaplik, R. Haupt, O. Hipolito. *J. Phys.: Condens. Matter.*, **5**, 8031 (1993).
- [11] F. Geerinckx, F.M. Peeters, J.T. Devreese. *Sol. St. Sci.*, **101**, 344 (1992).
- [12] P. Vasilopoulos, P. Warmenbol, F.M. Peeters, J.T. Devreese. *Phys. Rev. B*, **40**, 1810 (1989).
- [13] S.N. Klimin, E.P. Pokatilov, V.M. Fomin. *Phys. St. Sol. (b)*, **184**, 373 (1994).
- [14] K.D. Zhu, S.W. Gu. *Phys. Lett. A*, **171**, 113 (1992).
- [15] R. Fuchs, K.L. Kliewer. *Phys. Rev. A*, **140**, 2076 (1965).
- [16] A.K. Sood, L. Menendez, M. Cardona, K.P. Ploog. *Phys. Rev. Lett.*, **54**, 2111 (1985).
- [17] M. Cardona. *Superlatt. Microstr.*, **5**, 27 (1989).
- [18] M. Stroscio. *Phys. Rev. B*, **40**, 6428 (1989).
- [19] T. Tanaka, Y. Arakawa, G. Bauer. *Phys. Rev. B*, **50**, 7719 (1994).
- [20] И.С. Градштейн, И.М. Рыжик. *Таблицы интегралов, сумм, рядов и произведений* (М., Наука, 1971).
- [21] И.Б. Левинсон, Е.И. Рацба. УФН, **111**, 683 (1973).
- [22] G.Q. Hai, F.M. Peeters, J.T. Devreese. *Phys. Rev. B*, **42**, 11063 (1991).
- [23] G.Q. Hai, F.M. Peeters, J.T. Devreese. *Phys. Rev. B*, **48**, 4666 (1993).
- [24] E. Burstein, A. Pinchuk, R.F. Wallis. *J. Phys. Chem. Sol.*, **32**, 251 (1971).

Редактор Л.В. Шаронова

# Magnetopolaron in a cylindrical quantum wire

*E.P. Pokatilov, S.N. Klimin, S.N. Balaban, S.I. Beryl\**

Moldavian State University, 277009 Kishinev, Moldova

\*T.G.Shevchenko Pridnestrovie State University, Tiraspol, Russia

---